

国鉄・鉄道技術研究所 正会員 内田雅夫

1. まえがき

土路盤上有道床軌道の破壊法則に関する新式を提案するため、昭和51年1月の高崎線における振動測定に引き続き、同じ場所において、軌道破壊軽減対策（軌道パッドばねの低減、マクラギ重量化、道床厚増）を施した試験軌道に対し、輪重・圧力・変位・振動加速度等の測定を行ない、これらを含めて解析した結果について報告する。

2. 測定概要

(1) 測定場所： 高崎線、本庄～神保原間。

上り線 57.9 km 付近。

(2) 測定時期と試験軌道構造； 1級線口ニケレール軌道（50Nレール、PC3号5型、44本/25m、碎石250mm）を基準タイプとし、これに対して以下のような対策を施した（表-1）。

軌道パッドばねの低減； 110 → 70 → 40

マクラギ重量化； PC3号 → 統一PC

道床厚増； 道床厚 250 → 350

(3) 測定項目と測定装置； (図-1)

(4) 測定列車； 列車は、特急・急行・機関車、図-1 測定項目と測定装置別ものと、表-2のよう静止輪重およびばね下重量別に分類したものについて検討した。また、速度条件については、60, 90, 120 km/h の3段階とした。

3. 測定結果

3.1 動的ばね係数

測定された輪重・圧力と変位から算出された軌道構造別のばね係数を表-2に示す。

(1) 軌道ばね係数は、おおむね30~33%程度の値となるが、重量低ばねおよび道床厚増については、レール圧力/輪重比が小さいことなどから、測定直下のバラストの違いにより、25%程度の小さな値になったと考えられる。

(2) 基準および低ばね1, 2のレール支持ばね係数は約10%程度であり、軌道パッドばね係数を10~110%、バラストばね係数を100~300%の範囲にあると仮定する。と路盤ばね係数は11~15%程度と考えられる。

(3) 軌道パッドばね係数低減によるレール支持ばね係数の低減効果は顕著には現われていない。

3.2 輪重変動

輪重変動の標準偏差が次式で与えられており、これに基いて検討を進めた。

表-1 測定時期と試験軌道構造

測定時期	試験条件	軌道構造					路盤状態
		線形	レール	マクラギ	線形装置	道床厚 (mm)	
第1回 50年3月	基準(1) 低ばね1	直線	50N	PC3号	5型	110	普通
	低ばね2				5F型	70	
	重量低ばね(1)				40	250	
第2回 50年10月	基準(2)	レール	PC3号	5型	PC統一型	70	普通
	道床厚増(1)				110	350	
	重量低ばね(2)				70	250	
第3回 50年3月	道床厚増(2)		PC3号	5型	110	350	

番号	測定項目	測定期年月
①	レール振動加速度	54.3 54.10 55.3
②	道床振動加速度	○ ○ ○
③	輪重	○ ○ ○
④	横圧	○ ○ ○
⑤	レール圧力	○ ○ ○
⑥	路盤圧力	○ ○ ○
⑦	輪縫ばね応力	○ ○ ○
⑧	レール変位	○ ○ ○
⑨	レールマクラギ間相対変位	○ ○ ○

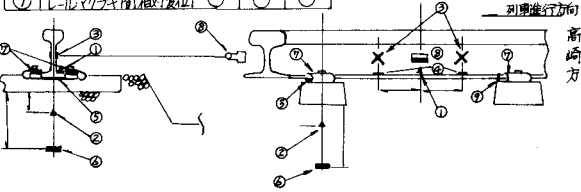


図-1 測定項目と測定装置

分類番号	軸重 (kg)	特急	急行
TYPE 1	763	モ182 4.88	
		モ188 4.88	
2	763	モ183 5.21	
		モ189 5.28	
3	793		モ164 4.76
			モ168 4.69
4	793		モ165 4.98
			モ169 5.05
5	829		モ165 4.25
			モ169 4.23
6	843	モ183 5.29	
		モ189 5.33	

表-2 車両の分類

軌道構造	係数	軌道構造	レール支持ばね係数 (kg/mm)	レール支持ばね係数 (kg/mm)	レール支持ばね係数 (kg/mm)	軸重
基準(1)	31.0	10.4	11.6	0.337		
低ばね1	30.3	9.2	10.0	0.289		
低ばね2	30.2	10.2	11.6	0.328		
基準(2)	32.4	10.0	10.2	0.318		
道床厚増(1)	34.1	13.5	12.2	0.380		
" (2)	24.2	4.5	4.6	0.186		
重量低ばね(1)	25.9	5.1	5.4	0.200		
" (2)	25.0	4.0	4.2	0.188		

$$\sigma_{\Delta W} = \sqrt{\frac{A}{\pi}} \cdot \frac{m_0}{2} \cdot K \cdot (1+Q) \cdot V \quad \dots \dots (3.1)$$

ただし

A: 軌道不整バワースペクトルの係数 (以下では、 2.0×10^{-6} を用いた)

m_0 : ばね下質量 (1軸分)

$$Q = 1/2G$$

$$\beta = C / \{ 2 \sqrt{K \cdot (m_0/2)} \} \quad (C: \text{軌道減衰係数})$$

(1) 輪重の実測値とその平均値との差を列車速度で除し式(3.1)が示す標準偏差とばね下質量との関係は図-2のようになり、式(3.1)が示す

$\sigma_{\Delta W} \propto \sqrt{m_0/2}$ という傾向が認められる。

(2) 式(3.1)を用いて、輪重値 W が次式の範囲内にあると考える。

$$W = W_0 \pm 2\sigma_{\Delta W} \quad \dots \dots (3.2)$$

ただし W_0 : 平均輪重

図-3は輪重と列車速度の関係を示す1例であり、輪重は $\beta = 0.3$ と仮定した場合の式(3.2)で示す限界線の範囲内におおむね分布し、また式(3.1)が示す $\sigma_{\Delta W} \propto V$ という速度効果も認められる。

3.2 振動加速度レベル

(1) レール振動加速度レベルについては、速度効果は明確であるが、軌道構造による差は顕著ではない。

(2) 道床振動加速度レベルについては、速度効果はレールほど明確ではないが、軌道構造による差は顕著であり、中間支持質量による振動加速度の低減効果が認められる(図-5)。

(3) 振動加速度の周波数分析結果と三重梁モデルによる理論計算結果の対比例を図-6に示す。この場合、両者は比較的よく一致しており、有効支持質量として $1000 \sim 1500 \text{ kg/m}$ 程度を見込むのが妥当と推定できる。

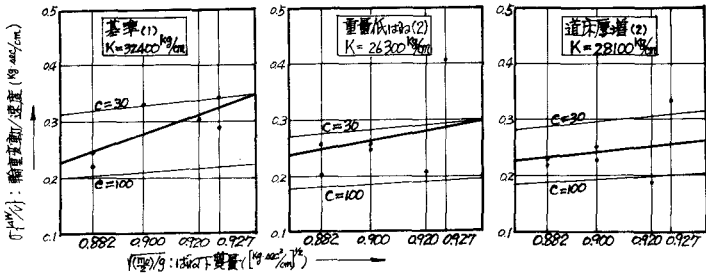


図-2 輪重変動とばね下質量との関係

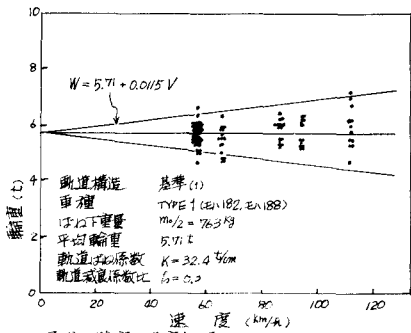


図-3 輪重の速度効果

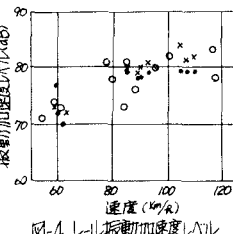


図-4 レール振動加速度レベル

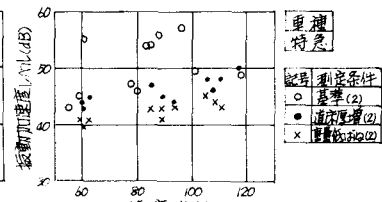


図-5 道床振動加速度レベル

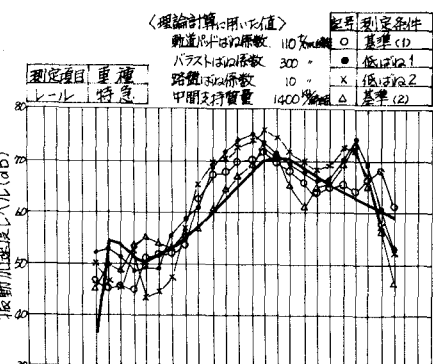


図-6 レール振動加速度スペクトル

《参考文献》

- 佐藤吉彦「新軌道破壊理論の構成」第32回土木学会年次学術講演会講演概要集、昭和52年10月。
- 平野雅之、長藤敬晴「高崎線における土路盤上有道床軌道の振動制定」第33回土木学会年次学術講演会講演概要集、昭和53年9月。
- 佐藤吉彦「軌道高周波振動の理論解析」鉄道技術研究報告 N.1013、昭和51年8月。